

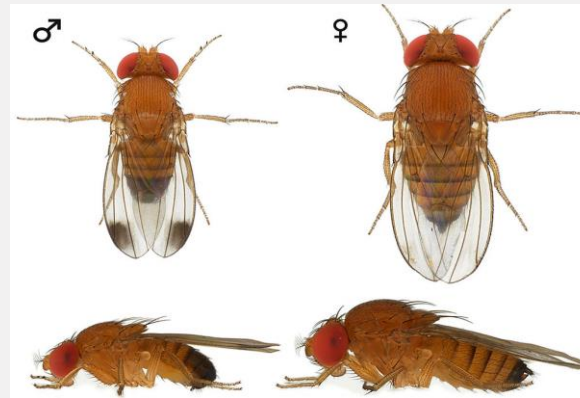
FACULTÉ DES SCIENCES - AIX-MARSEILLE UNIVERSITÉ (AMU)
**MASTER 1 - MATHÉMATIQUES ET APPLICATIONS : COMPUTATIONAL AND
MATHEMATICAL BIOLOGY (CMB)**

**Modéliser la dynamique des populations de *Drosophila suzukii* afin
d'optimiser le déploiement de la Technique de l'Insecte Stérile (TIS)**

Juin 2022

Réalisé par :

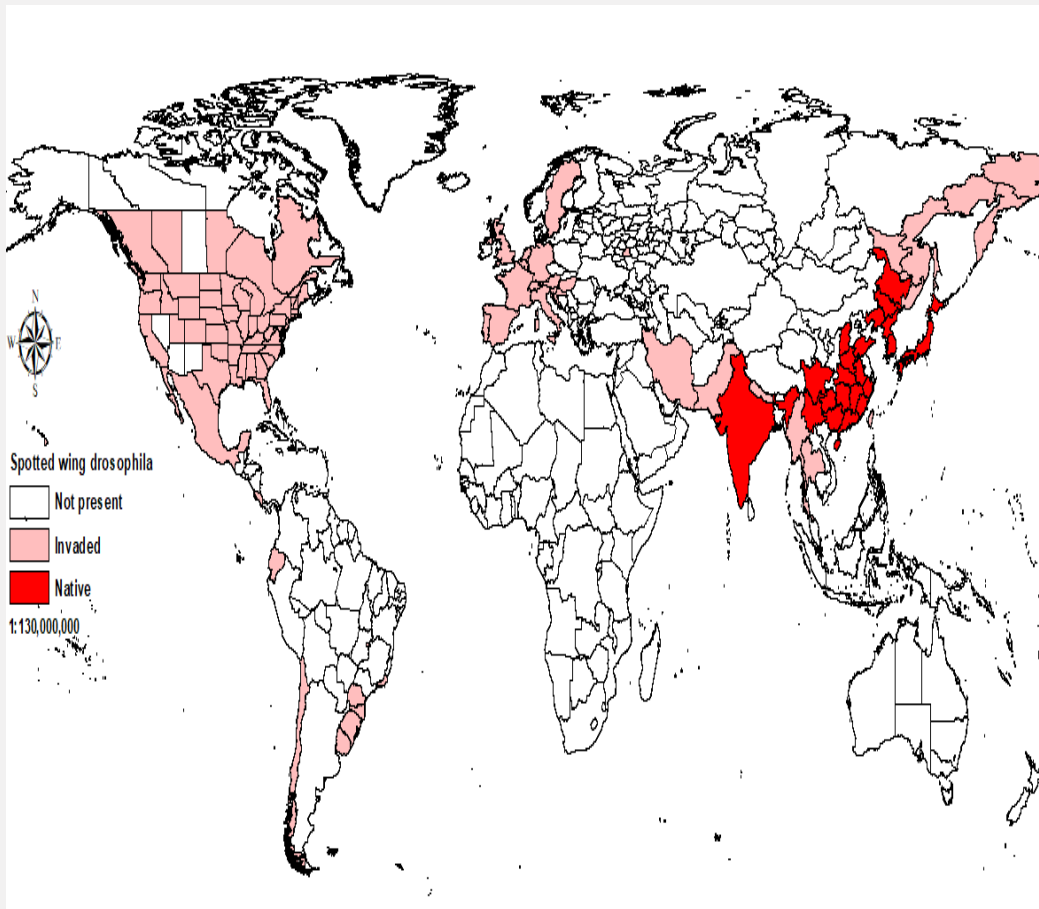
Crésus K. S. KOUNOUDJI



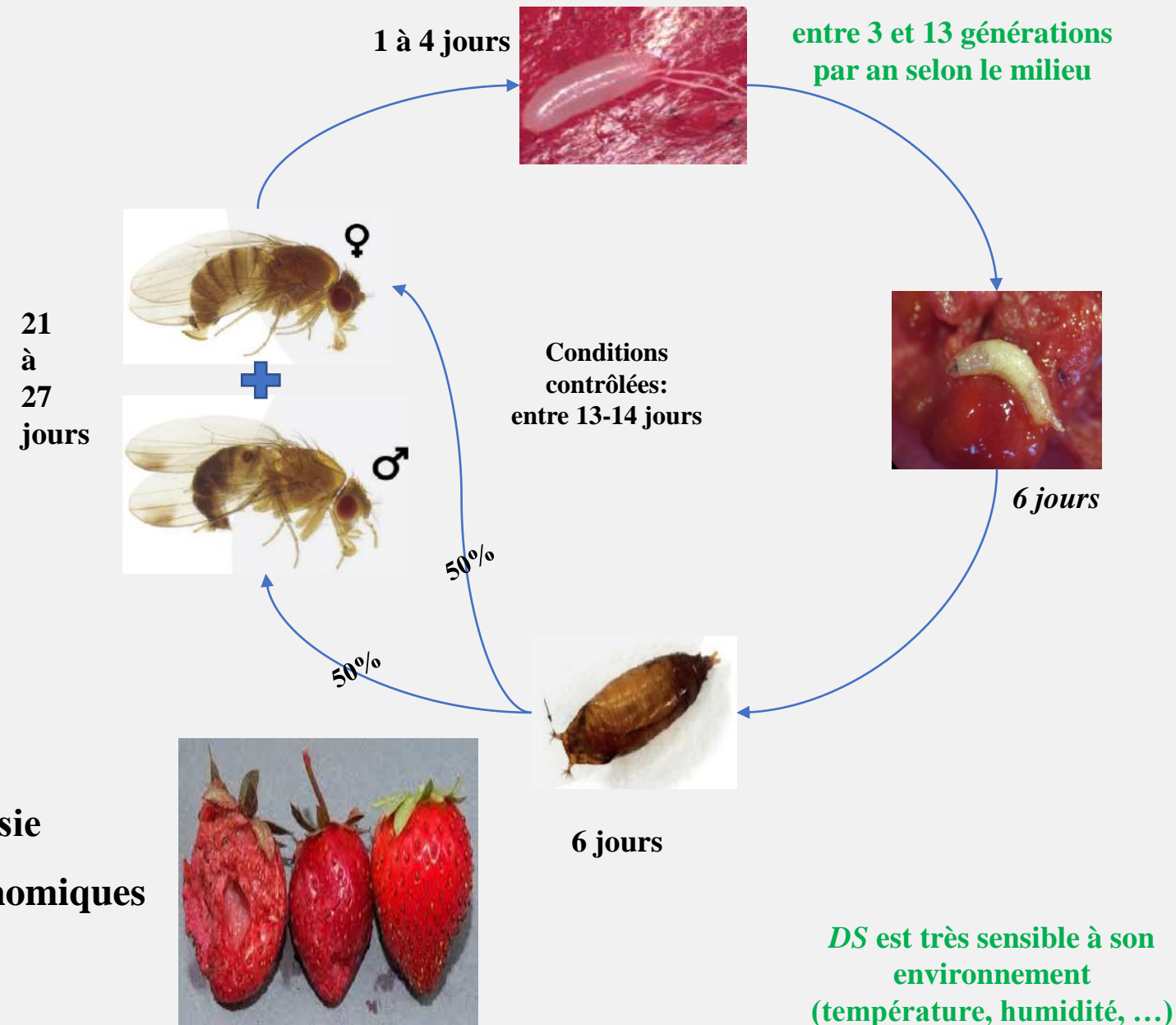
Sous la direction de :

Frédéric Grogard
Ludovic Mailleret
Louise van Oudenhove
Suzanne Touzeau

INSTITUT SOPHIA AGROBIOTECH - M2P2



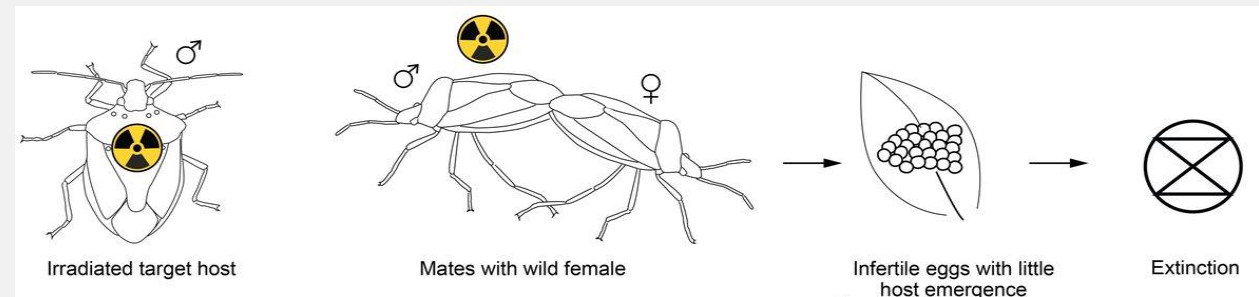
- ☐ *D. suzukii* est une espèce de mouche des fruits d'Asie
- ☐ Invasion en Europe avec d'importants dégâts économiques (Emiljanowicz et al. 2014)



Utilisation de lâchers en masse de mâles stériles d'une certaines espèces pour l'éradiquer sous **certaines conditions favorables** (Knipling 1955)

Dans ce modèle

- ❖ **accouplement non fertile avec mâles stériles**
- ❖ **diminution de rencontres fertiles à chaque génération**



Lâchers en masse d'insectes stériles et compatible avec le réaccouplement (Nikolouli et al. 2018)

Projet SuzuKIISS :ME

Développer la technique
de l'insecte stérile pour
lutter contre le ravageur
Drosophila suzukii (DS)



Ludovic Mailleret
(M2P2/ISA)



Suzanne Touzeau
(M2P2/ISA)

M2P2 – Institut Sophia Agrobiotech

- ☐ développement de stratégies novatrices de lutte écologique (modèles théoriques et expérimentaux)
- ☐ protection des plantes plus respectueuse de l'environnement



Louise van Oudenhove
(M2P2/ISA)



Frédéric Grogard
(Biocore/INRIA)

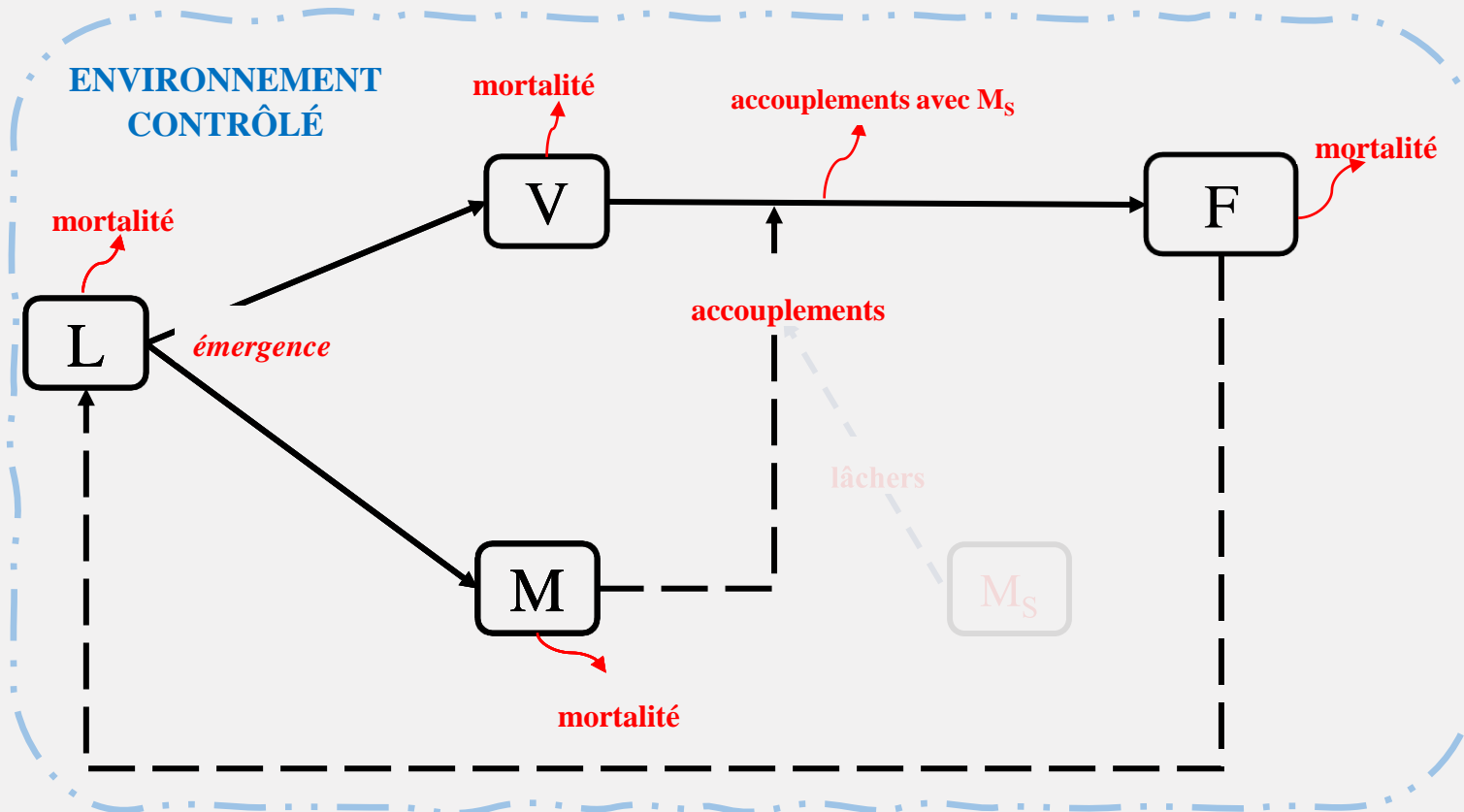
modèle mathématique en temps
continu de la dynamique des
pop. DS



Modéliser les lâchers de mâles
stériles pour prédire les
stratégies optimales de lâcher
d'insectes

❑ Modèle compartimental

S'inspire du modèle générique pour ravageurs de *Anguelov et al. (2017)*



Compartiments:

L = Larves

M = Mâles

V = Femelles vierges

F = Femelles fécondées

M_s = Mâles stériles

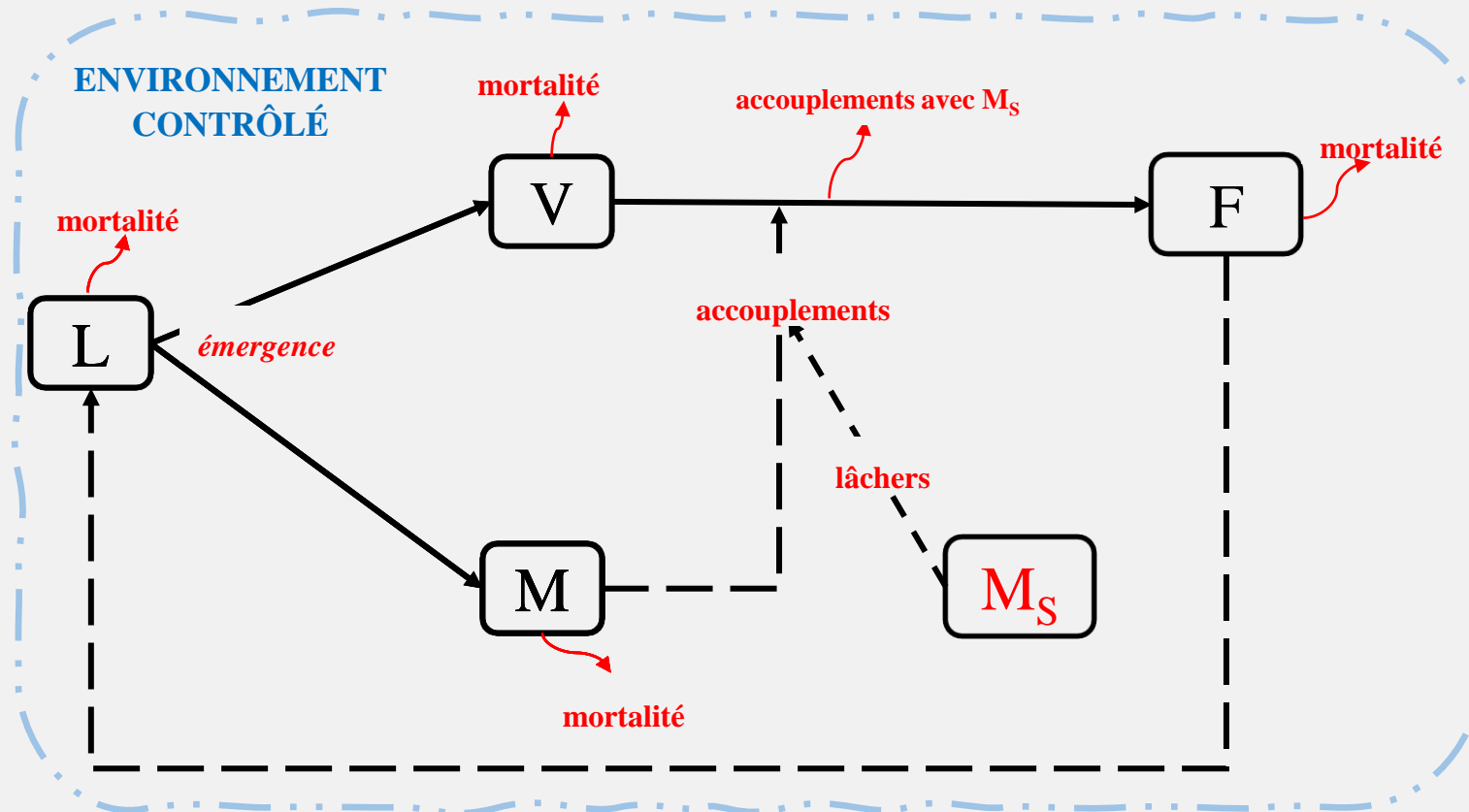


Sauvages

$M + V + F$

❑ Modèle compartimental

S'inspire du modèle générique pour ravageurs de *Anguelov et al. (2017)*



Compartiments:

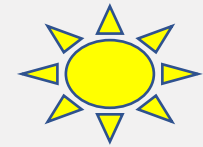
L = Larves

M = Mâles

V = Femelles vierges

F = Femelles fécondées

M_s = Mâles stériles

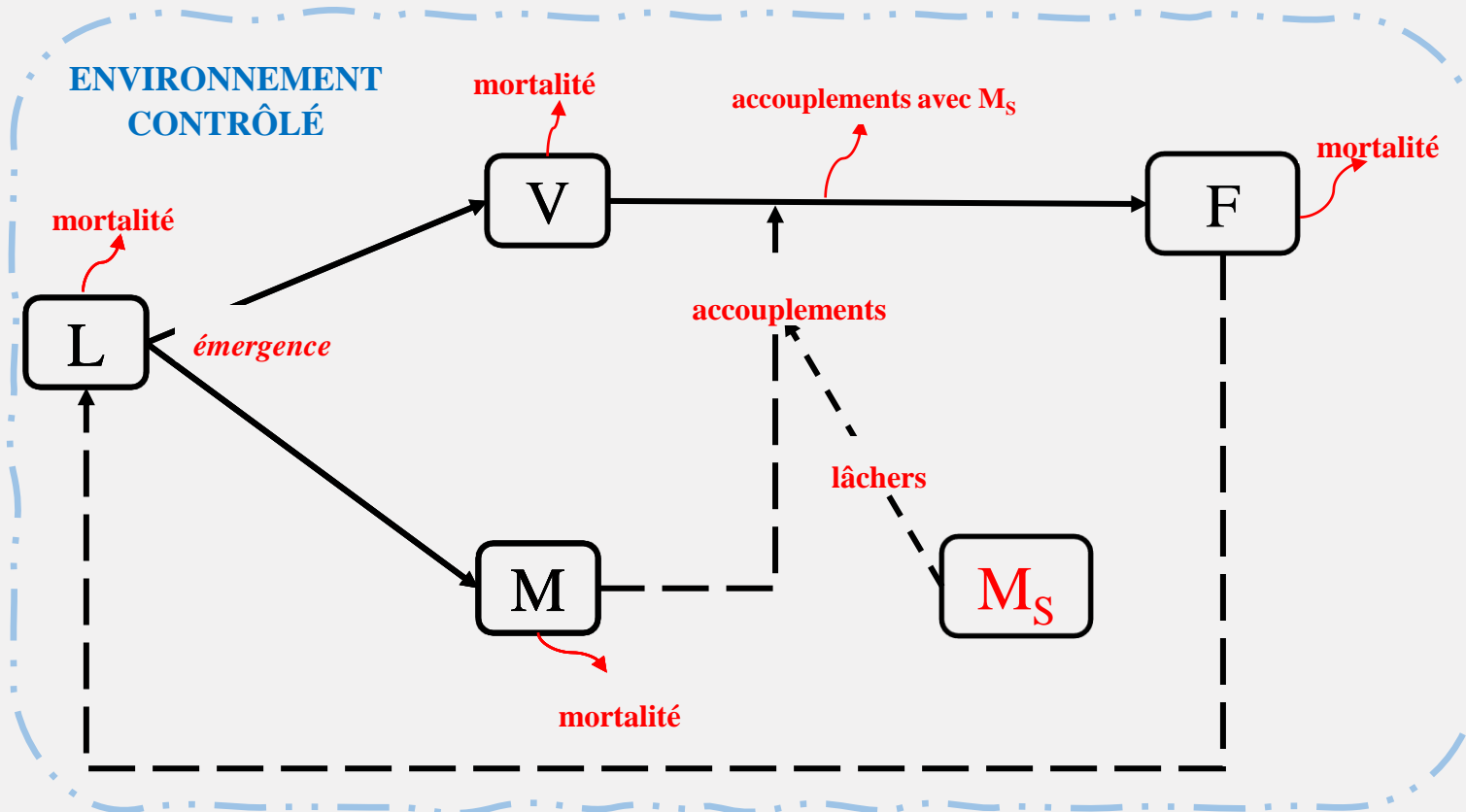


Sauvages

M + V + F

❑ Modèle compartimental

S'inspire du modèle générique pour ravageurs de *Anguelov et al. (2017)*



Compartiments:

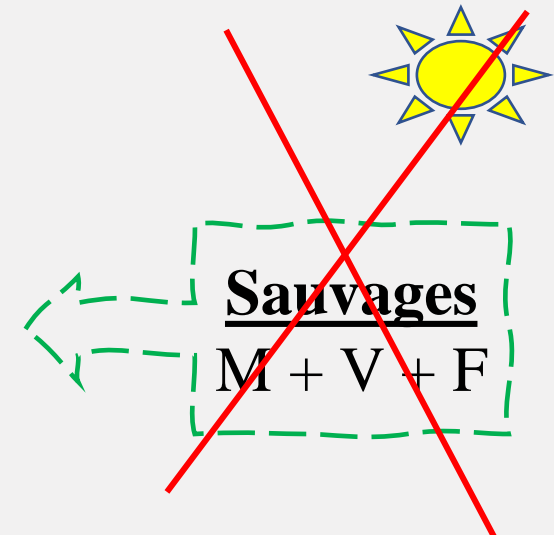
L = Larves

M = Mâles

V = Femelles vierges

F = Femelles fécondées

M_s = Mâles stériles



❑ Systèmes dynamiques associés

Modèle de base (sans TIS)

$$\begin{cases} \dot{L} &= \beta \left(1 - \frac{L}{K}\right) F - (v_L + \mu_L)L \\ \dot{M} &= v_L m L - \mu_M M \\ \dot{V} &= v_L (1 - m)L - (\mu_F + v_F)V \\ \dot{F} &= v_F V - \mu_F F \end{cases}$$

Modèle TIS

$$\begin{cases} \dot{L} &= \beta \left(1 - \frac{L}{K}\right) F - (\mu_L + v_L)L \\ \dot{M} &= v_L m L - \mu_M M \\ \dot{V} &= v_L (1 - m)L - (\mu_F + v_F)V \\ \dot{F} &= v_F \frac{M}{M+M_S} V - \mu_F F \end{cases}$$

- dynamique classique de pop.
- plus complexe à analyser puisque en 4D

□ Systèmes dynamiques associés

Modèle de base (sans TIS)

$$\begin{cases} \dot{L} &= \beta \left(1 - \frac{L}{K}\right) F - (v_L + \mu_L)L \\ \dot{M} &= v_L m L - \mu_M M \\ \dot{V} &= v_L (1 - m)L - (\mu_F + v_F)V \\ \dot{F} &= v_F V - \mu_F F \end{cases}$$

Modèle TIS

$$\begin{cases} \dot{L} &= \beta \left(1 - \frac{L}{K}\right) F - (\mu_L + v_L)L \\ \dot{M} &= v_L m L - \mu_M M \\ \dot{V} &= v_L (1 - m)L - (\mu_F + v_F)V \\ \dot{F} &= v_F \frac{M}{M + M_S} V - \mu_F F \end{cases}$$

- dynamiques classiques de pop.
- plus complexes à analyser puisque en 4D

□ Modèle de base à l'équilibre

$$\begin{cases} F &= \frac{(\mu_L + v_L)}{\beta(1 - \frac{L}{K})} L \\ M &= \frac{v_L m}{\mu_M} L \\ V &= \frac{v_L(1-m)}{(\mu_F + v_F)} L \\ F &= \frac{v_F}{\mu_F} V \end{cases}$$

En résolvant on a :

$$L^* = \left(1 - \frac{1}{\eta_0}\right) K \quad \text{avec} \quad \eta_0 = \frac{v_F v_L (1-m) \beta}{\mu_F (\mu_F + v_F) (\mu_L + v_L)} \quad \text{nb. descendants de base}$$

□ $\eta_0 \leq 1$, l'équilibre trivial $X_0^* = (0, 0, 0, 0)$ est l'unique équilibre

□ $\eta_0 > 1$, l'équilibre trivial X_0^* et un équilibre positif $X_1^* = (L_1^*, M_1^*, V_1^*, F_1^*)$

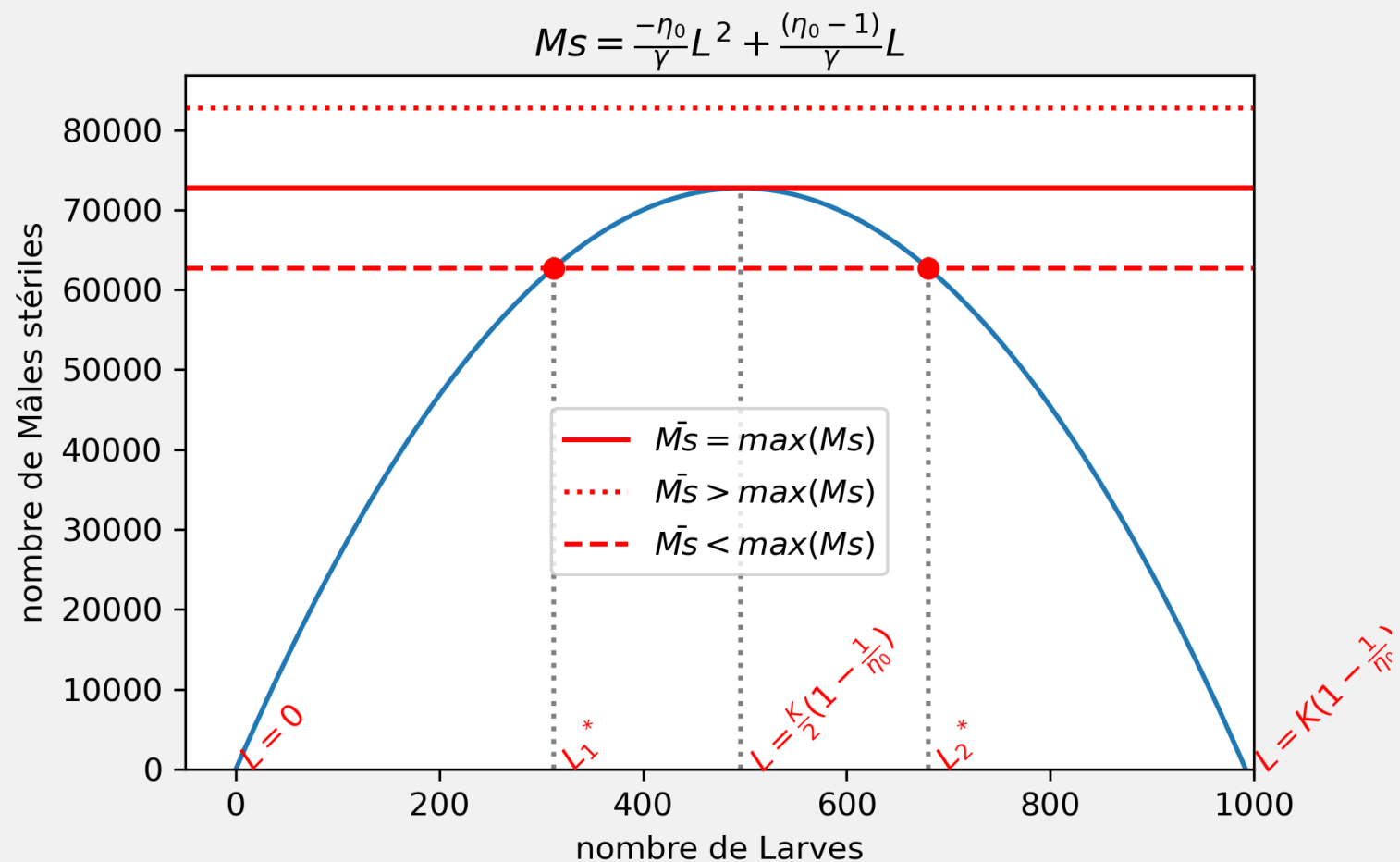
□ Modèle TIS à l'équilibre

$$\left\{ \begin{array}{l} F = \frac{(\mu_L + \nu_L)}{\beta(1 - \frac{L}{K})} L \\ M = \frac{\nu_L m}{\mu_M} L \\ V = \frac{\nu_L(1-m)}{(\mu_F + \nu_F)} L \\ F = \frac{\nu_F \nu_L(1-m)}{\mu_F(\mu_F + \nu_F)} \frac{M}{(M + M_S)} L \end{array} \right.$$

En résolvant on obtient :

$$M_S = -\frac{\gamma}{K} \eta_0 L^*{}^2 + \gamma(\eta_0 - 1)L^*$$

Les équilibres positifs sont donnés par l'intersection entre une droite $Y = M_S$ et une parabole $\zeta(L)$



$$\eta_0 = 126.65$$

□ Stabilité de l'équilibre $X_0^* = (0,0,0,0)$ du modèle de base (représentative)

$$\left(\begin{array}{cc|cc} -(\mu_L + v_L) & 0 & 0 & \beta \\ v_L m & -\mu_M & 0 & 0 \\ \hline v_L(1-m) & 0 & -(\mu_F + v_F) & 0 \\ 0 & 0 & v_F & -\mu_F \end{array} \right)$$

$$A_0 = \begin{pmatrix} -(\mu_L + v_L) & 0 \\ v_L m & -\mu_M \end{pmatrix}; B_0 = \begin{pmatrix} 0 & \beta \\ 0 & 0 \end{pmatrix}$$

$$C_0 = \begin{pmatrix} v_L(1-m) & 0 \\ 0 & 0 \end{pmatrix}; D_0 = \begin{pmatrix} -(\mu_F + v_F) & 0 \\ v_F & -\mu_F \end{pmatrix}$$

Proposition

Soit \mathbf{M} une **Matrice Metzler** pouvant s'écrire par bloc comme suit :

$$\mathbf{M} = \begin{pmatrix} A & B \\ C & D \end{pmatrix}$$

\mathbf{M} est **Metzler stable** si et seulement si \mathbf{A} et $\mathbf{D} - \mathbf{CA}^{-1}\mathbf{B}$ sont Metzler stables.

Source: Bowong Tsakou (2003)

□ Il est trivial que A_0 est Metzler stable et on montre aisément que $(D_0 - C_0 A_0^{-1} B_0)$ est Metzler.

□ La condition de stabilité devient:

$$\mu_F(\mu_F + v_F) - \frac{\beta v_F v_F(1-m)}{(\mu_L + v_L)} > 0 \iff \eta_0 < 1$$

□ Stabilité de l'équilibre $X_0^* = (0,0,0,0)$ du modèle de base (représentative)

$$\left(\begin{array}{cc|cc} -(\mu_L + v_L) & 0 & 0 & \beta \\ v_L m & -\mu_M & 0 & 0 \\ \hline v_L(1-m) & 0 & -(\mu_F + v_F) & 0 \\ 0 & 0 & v_F & -\mu_F \end{array} \right)$$

$$A_0 = \begin{pmatrix} -(\mu_L + v_L) & 0 \\ v_L m & -\mu_M \end{pmatrix}; B_0 = \begin{pmatrix} 0 & \beta \\ 0 & 0 \end{pmatrix}$$

$$C_0 = \begin{pmatrix} v_L(1-m) & 0 \\ 0 & 0 \end{pmatrix}; D_0 = \begin{pmatrix} -(\mu_F + v_F) & 0 \\ v_F & -\mu_F \end{pmatrix}$$

Proposition

Soit **M** une **Matrice Metzler** pouvant s'écrire par bloc comme suit :

$$\mathbf{M} = \begin{pmatrix} A & B \\ C & D \end{pmatrix}$$

M est **Metzler stable** si et seulement si **A** et **D - CA⁻¹B** sont Metzler stables.

Source: Bowong Tsakou (2003)

□ Il est trivial que A_0 est Metzler stable et on montre aisément que $(D_0 - C_0 A_0^{-1} B_0)$ est Metzler.

□ La condition de stabilité devient:

$$\mu_F(\mu_F + v_F) - \frac{\beta v_F v_F(1-m)}{(\mu_L + v_L)} > 0 \iff \eta_0 < 1$$

□ Stabilité de l'équilibre $X_0^* = (0,0,0,0)$ du modèle de base (représentative)

$$\left(\begin{array}{cc|cc} -(\mu_L + v_L) & 0 & 0 & \beta \\ v_L m & -\mu_M & 0 & 0 \\ \hline v_L(1-m) & 0 & -(\mu_F + v_F) & 0 \\ 0 & 0 & v_F & -\mu_F \end{array} \right)$$

$$A_0 = \begin{pmatrix} -(\mu_L + v_L) & 0 \\ v_L m & -\mu_M \end{pmatrix}; B_0 = \begin{pmatrix} 0 & \beta \\ 0 & 0 \end{pmatrix}$$

$$C_0 = \begin{pmatrix} v_L(1-m) & 0 \\ 0 & 0 \end{pmatrix}; D_0 = \begin{pmatrix} -(\mu_F + v_F) & 0 \\ v_F & -\mu_F \end{pmatrix}$$

Proposition

Soit **M** une **Matrice Metzler** pouvant s'écrire par bloc comme suit :

$$\mathbf{M} = \begin{pmatrix} A & B \\ C & D \end{pmatrix}$$

M est **Metzler stable** si et seulement si **A** et **D - CA⁻¹B** sont Metzler stables.

Source: Bowong Tsakou (2003)

□ Il est trivial que A_0 est Metzler stable et on montre aisément que $(D_0 - C_0 A_0^{-1} B_0)$ est Metzler.

□ La condition de stabilité devient :

$$\mu_F(\mu_F + v_F) - \frac{\beta v_F v_F (1-m)}{(\mu_L + v_L)} > 0 \iff \eta_0 < 1$$

□ Conditions de stabilité modèle de base

- $\eta_0 \leq 1$, l'équilibre trivial $X_0^* = (0,0,0,0)$ est *localement asymptotiquement stable (LAS)*
- $\eta_0 > 1$, l'équilibre trivial X_0^* est *instable* et l'équilibre positif X_1^* est *LAS*

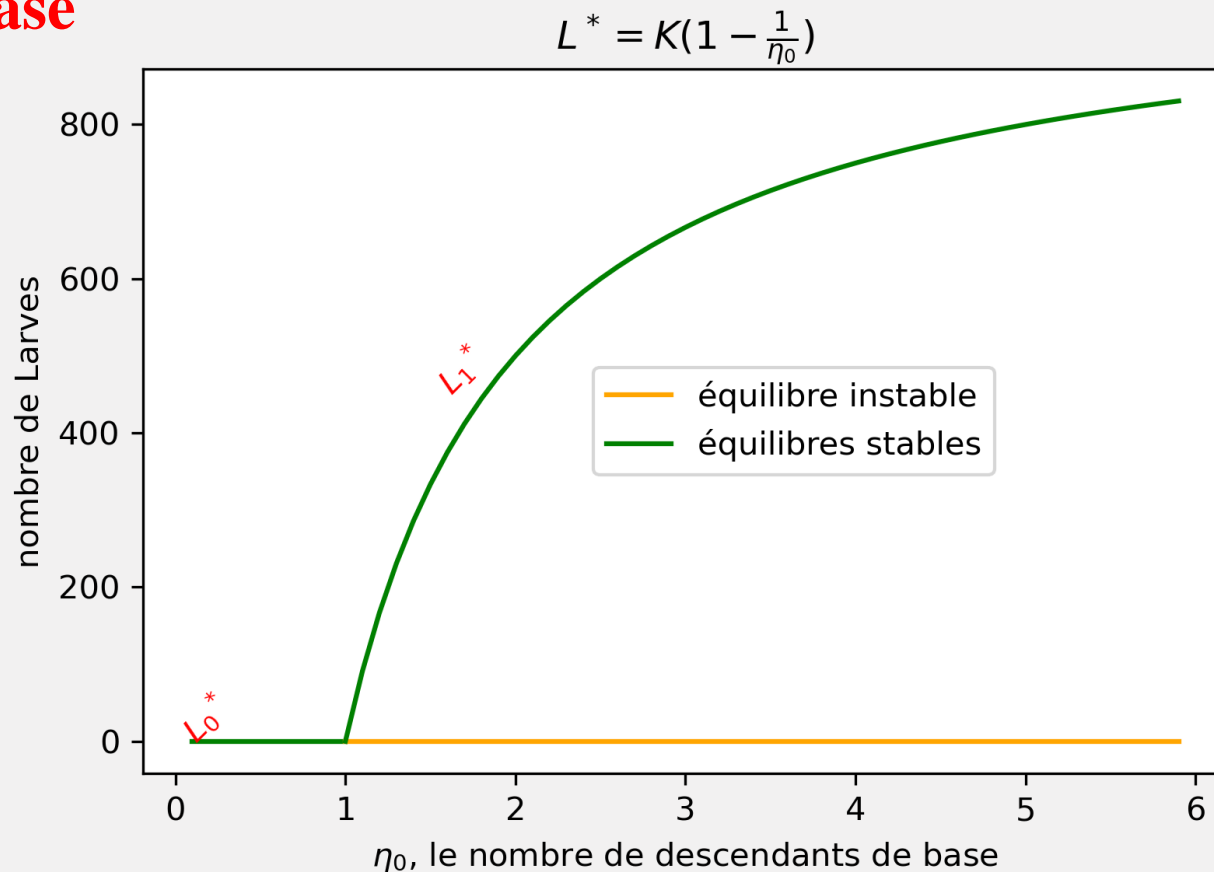


Diagramme de bifurcation modèle de base

□ Conditions de stabilité modèle TIS

- démonstration incomplète
- postulat logique, fondé et vérifié numériquement

□ $\eta_0 \leq 1$ ou $M_S > \max(\zeta(L))$, l'équilibre trivial $Z_0^* = (0,0,0,0)$ est **LAS**

□ $\eta_0 > 1$, l'équilibre trivial Z_0^* et l'équilibre positif Z_2^* pour $L_2 > \frac{K}{2} \left(1 - \frac{1}{\eta_0}\right)$ sont **LAS** tandis que l'équilibre positif Z_1^* $L_1 < \frac{K}{2} \left(1 - \frac{1}{\eta_0}\right)$ est **instable**

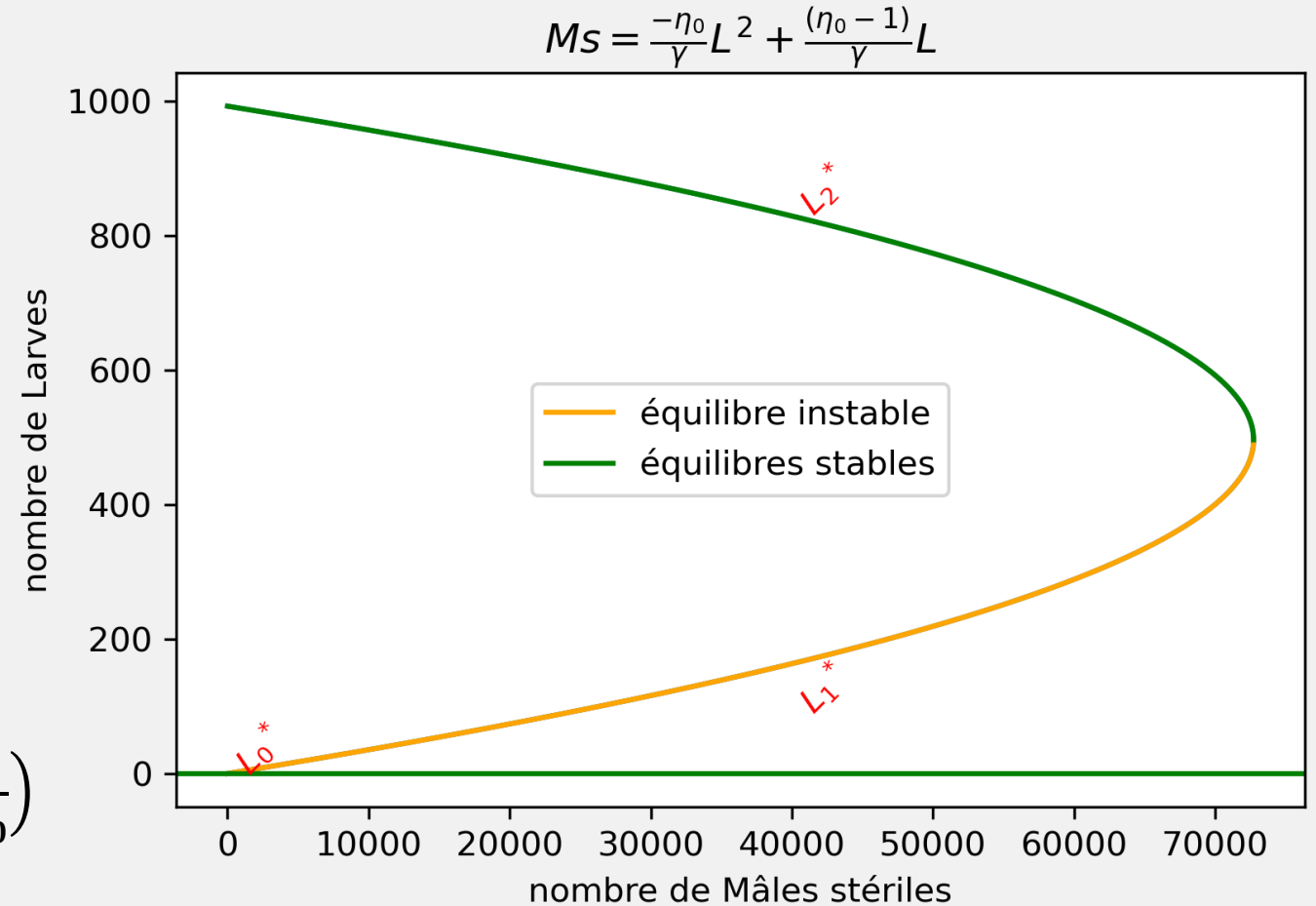
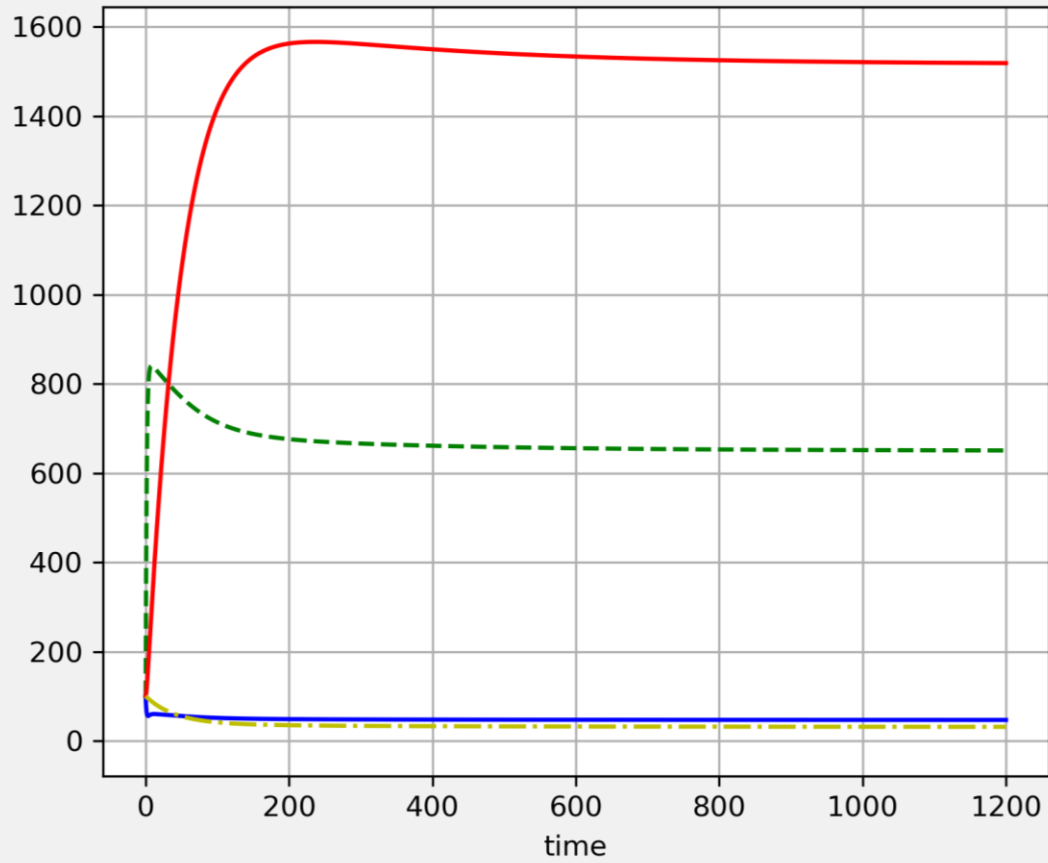
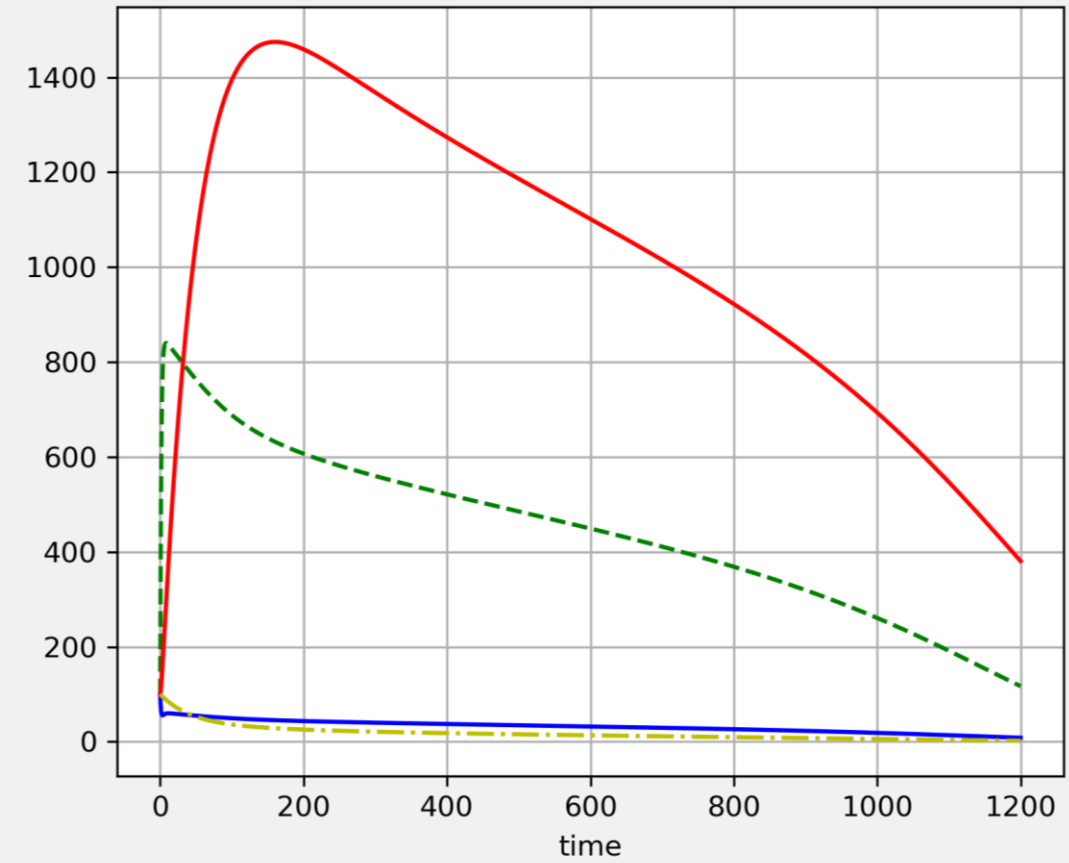


Diagramme de bifurcation modèle TIS

□ Dynamique de la pop. de *D. sukuzii* dans le temps en fonction du seuil M_S

Dynamique pour $M_S = 70000$ Dynamique pour $M_S = 90000$ 

$$\eta_0 = 126.65$$

❑ Conclusions

- ❑ seuil (η_0) d'effondrement de la population pour les deux modèles
- ❑ bistabilité pour le modèle TIS
- ❑ on peut déterminer un seuil (M_S) de nombre d'insectes stériles pour l'effondrement de la population dans le modèle TIS.

❑ Perspectives

- ❑ compléter l'analyse de stabilité
- ❑ étudier les stabilités globales
- ❑ intégrer les migrations, M_S avec une dynamique propre etc. pour un développement plus réaliste
- ❑ analyses de sensibilités avec données de terrain pour : valider les seuils.

❑ Conclusions

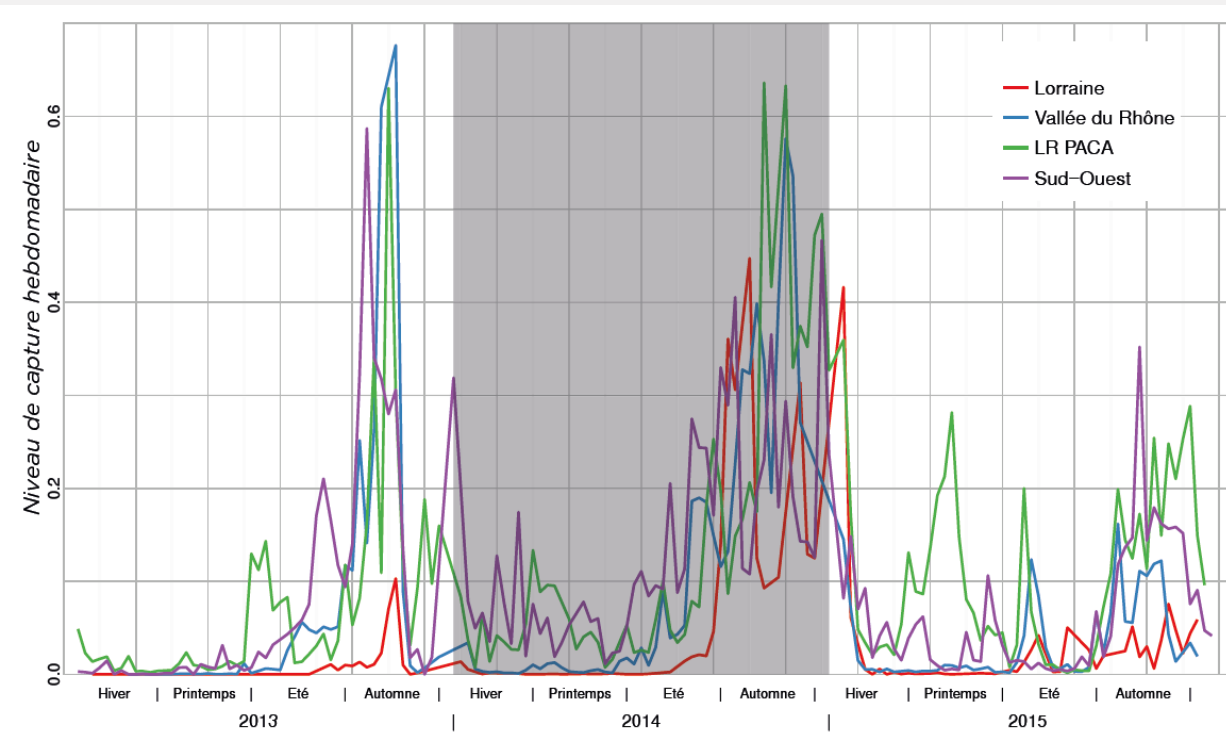
- ❑ seuil (η_0) d'effondrement de la population pour les deux modèles
- ❑ on peut déterminer un seuil (M_S) de nombre d'insectes stériles pour l'effondrement de la population dans le modèle TIS
- ❑ bistabilité pour le modèle TIS:
contrôle des invasions mineures en dessous du seuil d'éradication

❑ Perspectives

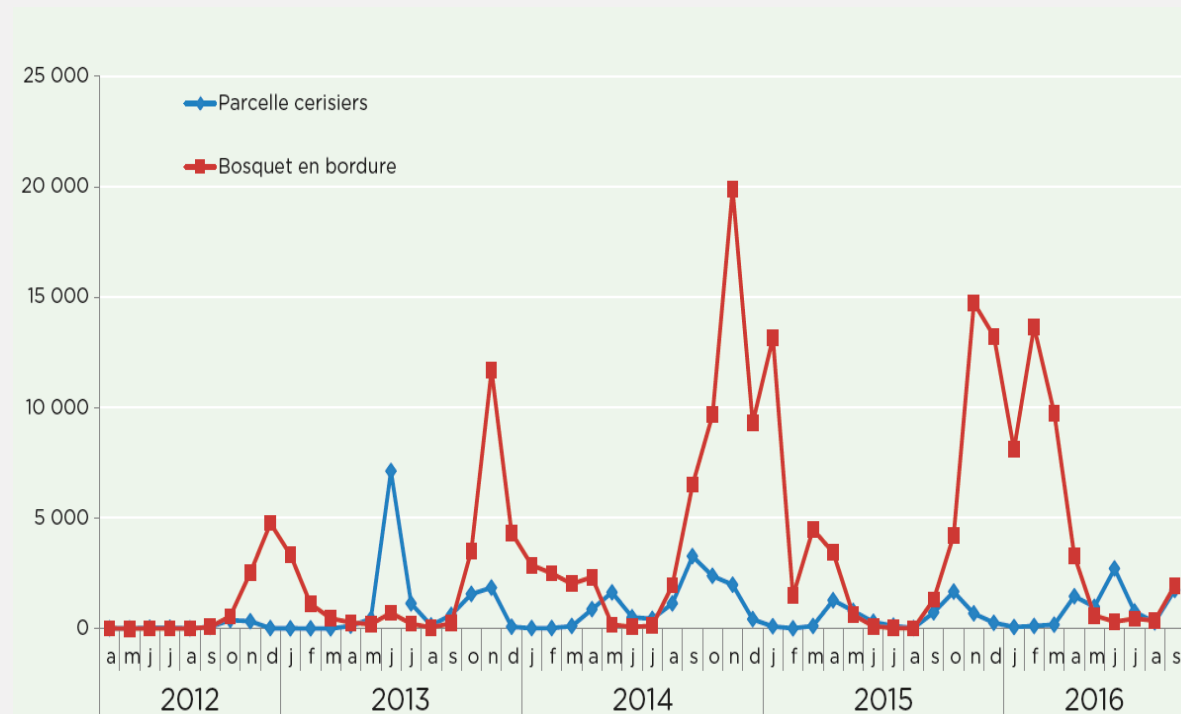
- ❑ compléter l'analyse de stabilité
- ❑ étudier les stabilités globales
- ❑ intégrer les migrations, M_S avec une dynamique propre etc. pour un développement plus réaliste
- ❑ analyses de sensibilités avec données de terrain pour valider les seuils

MERCI

□ Environnement et dynamique de pop.

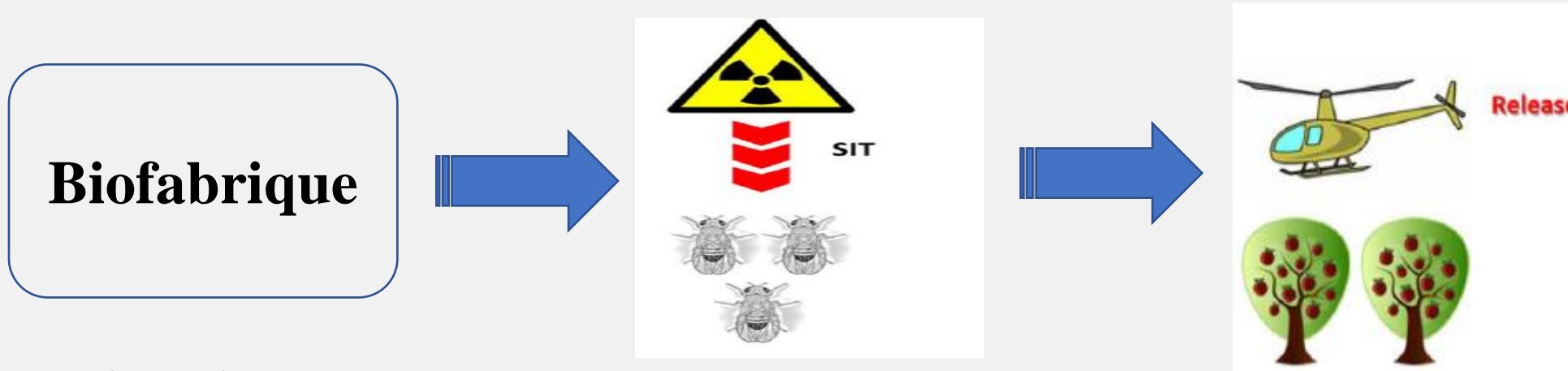


Capture hebdomadaire d'adulte DS entre 2013-2015



Capture de DS dans une parcelle et le bosquet voisin 2013-2015

Source: CTIFL (2016)



Spécificité de *D. suzukii*

- Pas de sexage avant la stérilisation.
- Des travaux sur une dose optimale : ~99% de mâles stérilisé et 100% de femelles stérilisée
- Pas d'effet sur l'activité de *D. suzukii* en dehors de la fertilité (*Krüger et al. 2019*)



- Pas d'effet sur la probabilité de ré-accouplement
- Ré-accouplement peu fréquent impact négligeable sur la TIS (*Krüger et al. 2019 & Chen et al. 2022*)

□ Paramétrisation

Paramètre	description	unité	valeurs
β	taux de ponte	(/F/j)	6
K	capacité de charge	(larve)	1000
μ_L	taux de mortalité des larves	(/jour)	0.36/13.5
μ_F	taux de mortalité des femelles	(/jour)	1/63
μ_M	taux de mortalité des mâles	(/jour)	1/63
ν_L	taux de maturation des larves	(/jour)	1/13.5
ν_F	taux d'accouplement	(/jour)	0.5
m	sex-ratio, <i>proportion de mâles</i>	(sans unité)	0.5